

დეფორმირებული UFe_2 ნაერთის არატურებზე თვისებები

ნანა მამისაშვილი, ლალიტა დარჩიაშვილი, მალხაზ ბიბილური, ზურაბ ჩაჩხიანი
საქართველოს ტექნიკური უნივერსიტეტი

რეზიუმე

შესწავლით მაღალ ტემპერატურებზე UFe_2 ნაერთის შინაგანი ხახუნისა და ძვრის დინამიური მოდულის ტემპერატურული და ამპლიტუდური დამოკიდებულება გრეხითი რხევების სიხშირის $0,5 - 5,0$ ჰეც და დეფორმაციის $5 \cdot 10^{-5} - 1 \cdot 10^{-3}$ დიაპაზონებში. განსაზღვრულია რელაქსაციური პროცესების აქტივაციის ენერგიისა და სიხშირის ფაქტორის მნიშვნელობები. 600°C ტემპერატურაზე მაღალამპლიტუდური გრეხითი რხევების პროცესში დეფორმირებულ ნიმუშში გამოვლენილია რხევის ამპლიტუდისაგან დამოკიდებული შინაგანი ხახუნის ჰიბრიდული პროცესები და შეფასებულია დრეკადობის ზღვრის მნიშვნელობები. შემოთავაზებულია რელაქსაციური პროცესების მექანიზმები წახნაგცენტრირებული კუბური სიმეტრიის კრისტალებში დისლოკაციებისა და წერტილოვანი დეფექტების ურთიერთქმედების გათვალისწინებით.

საკვანძო სიტყვები: ურანი, რელაქსაცია, ძვრის მოდული, დრეკადობის ზღვარი, აქტივაციის ენერგია, კრისტალური ამპლიტუდა, ციკლური დეფორმაცია.

1. შესავალი

მენდელეევის სისტემის d და f ჯგუფების გარდამავალი მეტალების შენაღნობები და ნაერთები პერსპექტიულია ხისტი მაგნიტების შესაქმნელად. ისინი ფართოდ გამოიყენებიან აღაპტურ ოპტიკაში, ინფორმაციის შენახვისა და გადაცემის მოწყობილობებში, აგრეთვე თანამედროვე რადიოელექტრონიკის დიაგნოსტიკისა და კონტროლის ხელსაწყოებში. სხვადასხვა დანიშნულების საიმედო კონსტრუქციებისა და მოწყობილობების დამუშავებისათვის მეტად მნიშვნელოვანია აღნიშნული მასალების ტექნოლოგიური და მექანიკური მახასიათებლების ცოდნა. დღეისათვის მათი მექანიკური თვისებები არასაკმარისადაა შესწავლილი.

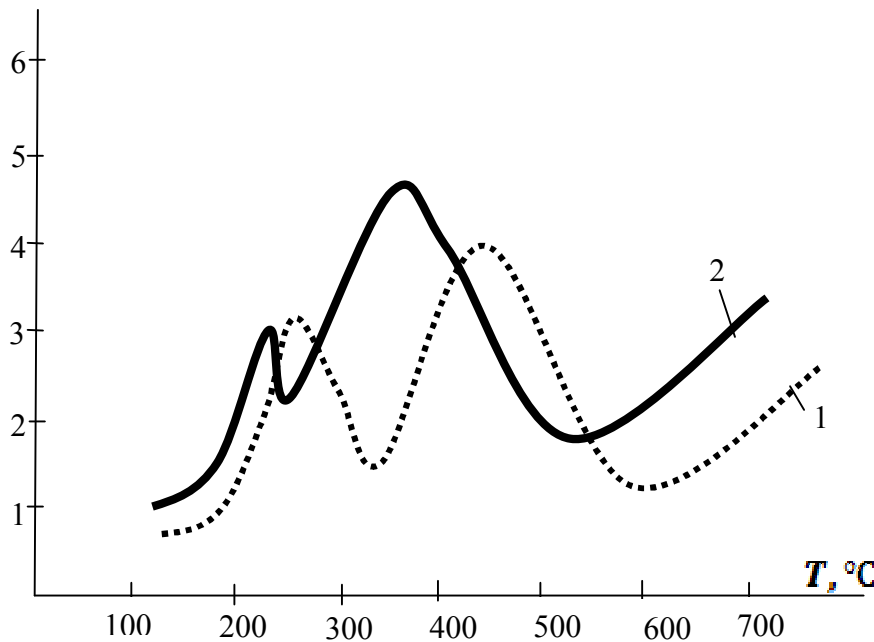
პრაქტიკულად შეუსწავლელია UM_2 მასალების რეალური სტრუქტურა, მისი დამახასიათებელი დეფექტების ტიპები, დიფუზია, ძვრადობა, თერმული მდგრადობა და მოძრაობის აქტივაციური მახასიათებლები.

ნაშრომში წარმოდგენილია ციკლურად დეფორმირებული UFe_2 ნაერთის სტრუქტურულად - მგრძნობიარე დაბალი სიხშირის გრეხითი რხევების დაპაზონის შინაგანი ხახუნისა და ძვრის დინამიური მოდულის შესწავლის შედეგები. ნაერთების ექსპერიმენტული კვლევა განხორციელებულია ტემპერატურისა და ფარდობითი დეფორმაციის ფართო ინტერვალებში. შინაგანი ხახუნის მეთოდი საშუალებას იძლევა განისაზღვროს მყარი სხეულების მექანიკური მოდულები და პლასტიკური დეფორმაციის მახასიათებლები, დადგენილი იქნას სითბურ ენერგიაში მექანიკური ენერგიის გარდაქმნის პროცესების მიკროსკოპული მექანიზმები.

2. ძირითადი ნაწილი

UFe_2 შინაგანი ხახუნის სპექტრები შესწავლილია გრეხითი რხევების მიღევის ლოგარითმული დეკრემნტისა და სიხშირის რეგისტრაციის მეთოდით გაკუუმში გახურება-გაცივების $2^{\circ}\text{C}/\text{წ}$ სიჩქარის ჰიბრიდებში.

UFe_2 ნიმუშის შინაგანი ხახუნის ტემპერატურულ სპექტრში გამოვლენილია ორი მაქსიმუმი 260 და 380°C ტემპერატურებზე (ნახ.1). მაღალ ტემპერატურათა არეში შინაგანი ხახუნის ფონი ექსპონენციალურად იზრდება. ამავე ტემპერატურულ ინტერვალში ძვრის ფარდობითი მოდული განიცდის წრფივად შემცირებას. შინაგანი ხახუნის მაქსიმუმების მახლობლობაში გამოვლენილია ძვრის მოდულის დეფექტი, რომელიც ლოკალურ უბნებში ატომთაშორისი კავშირის მაღლების შესუსტებითაა გამოწვეული. განმეორებითი გაზომვისას არ შეიმჩნევა შინაგანი ხახუნის მაქსიმუმებისა და ფონის ინტენსივობის ცვლილება. აღნიშნული გარემოება ავლენს რხევების ენერგიის განვითარების პროცესებში მონაწილე დეფექტების თერმულ სტაბილურობას.



ნახ.1. UFe_2 ნაერთის შინაგანი ხახუნისა (1) და ძვრის მოდულის სპექტრიები,
 $f_0 \approx 1 \text{ } \text{J} \cdot \text{Q}^{-1} \cdot 10^2$

1. საწყისი მდგომარეობა; 2. დეფორმირებული 600^0C -ზე, $\varepsilon_{\max} \approx 5 \cdot 10^{-3}$

რხევის სიხშირის გაზრდით 1-დან 5 პც-მდე ხდება მაქსიმუმებისა და ძვრის მოდულის დეფექტების წანაცვლება მაღალი ტემპერატურების მიმართულებით $15 - 20^0\text{C}$ -ით. ეს მიუთითებს მათ რელაქსაციურ ბუნებაზე. რელაქსაციური პროცესების აქტივაციური მახასიათებლები განისაზღვრა სიხშირული წანაცვლების მეთოდით [1]. პირველი მაქსიმუმისათვის აქტივაციის ენერგია ტოლია $1,35\text{eV}$, სიხშირის ფაქტორი $\approx 3 \cdot 10^{13}\text{Hz}^{-1}$. მეორე მაქსიმუმისათვის აქტივაციის მახასიათებლებია $-1,80\text{eV}$ და $4 \cdot 10^{14}\text{Hz}^{-1}$. ციკლური დეფორმაცია $9 \cdot 10^{-3}$ რხევით ამპლიტუდაზე 600^0C -ზე იწვევს რელაქსაციური მაქსიმუმისინტენსივობის ამაღლებას $10-15\%-ით$ და მათ გადანაცვლებას დაბალი ტემპერატურებისაკენ $\approx 20^0\text{C}$ -ით. ეს ადასტურებს აღნიშნული მაქსიმუმების დისლოკაციურ ბუნებას. რხევის ამპლიტუდის შემდგომი შემცირებით კვლავ აღდგებიან ორივე რელაქსაციური მაქსიმუმის საწყისი მახასიათებლები. აღნიშნული ტიპის ცვლილებები დამახასიათებელია დისლოკაციებისა და წერტილოვანი დეფექტების ურთიერთქმედების პროცესებისათვის [2].

მოწვა 750^0C ტემპერატურაზე 5სთ-ის განმავლობაში ორჯერ ამცირებს შინაგანი ხახუნის ფონის ინტენსივობას $20-200^0\text{C}$ ინტერვალში, 10^0C -ით გადანაცვლებს მაღალ ტემპერატურულ ფონს, პრაქტიკულად გავლენას არ ახდენს შინაგანი ხახუნის მაქსიმუმების ტემპერატურასა და ინტენსივობაზე. შესაძლებელია ვივარაუდოთ, რომ შინაგანი ხახუნის ფონის საგრძნობი შემცირება გამოწვეულია მოწვის შედეგად ვაკანსიების კონცენტრაციის შემცირებით კრისტალის მოცულობაში. თერმული დამუშავების შეძეგვ ციკლური დეფორმაცია რხევის მაღალი ამპლიტუდების პირობებში ($\sim 1 \cdot 10^{-3}$) იწვევს მაქსიმუმების ინტენსივობის ამაღლებას $\approx 20\%-ით$, ამავე დროს არ შეინიშნება ფონის ინტენსივობის ცვლილება, რაც კვლავ ადასტურებს მის არადისლოკაციურ წარმომავლობას.

არადეფორმირებულ მდგომარეობასთან შედარებით დეფორმირებული UFe_2 ნაერთის სპექტრის. განმასხვავებელ ნიშნად გვევლინება რელაქსაციური მაქსიმუმების ინტენსივობის, კრიტიკული ტემპერატურების და აქტივაციური მახასიათებლების შემცირების ტენდენცია. შესაძლებელია დავასკვნათ, რომ UFe_2 ნაერთში რელაქსაციურ პროცესებში მონაწილეობენ სუსტად ბმული სტრუქტურული დეფექტები.

$$\text{ეტალონთან } \text{შედარების } \text{მეთოდით [3] } \text{ცნობილი } \text{თანაფარდობის } G = G \frac{f^2}{f_0^2} 0 \text{ } \text{საფუძველზე}$$

განისაზღვრა საწყისი და $\text{დეფორმირებული } UFe_2$ ნაერთის ნიმუშის ძვრის მოდულისა და $\text{კრიტიკული } \text{ამპლიტუდური } \text{დეფორმაციის } \text{მნიშვნელობები (ცხრ.1). } G$ და f წარმოადგენს $\text{საცდელი } \text{ნიმუშის } \text{მოდულსა}$ და $\text{სიხშირეს } \text{ასოლუტური } \text{ძვრის } \text{მოდულისა}$ და $\text{რჩევის } \text{სიხშირის } \text{სიდიდეებს, } \text{ხოლო } G 0$ და $f 0$ $- \text{ეტალონის } (\text{იოდიდური } \text{ვანაღიუმი})$ $\text{ანალოგიურ } \text{მნიშვნელობებს.}$

UFe_2 ნაერთის მექანიკური მახასიათებლები ოთახის ტემპერატურაზე

ცხრ.1

$\text{საცდელი } \text{ნიმუში } UFe_2$	$\text{ძვრის } \text{მოდული, } \text{კგ/მ}^2$	$\text{დრეკადობის } \text{ზღვარი, } \text{კგ/მ}^2$	$\text{კრიტიკული } \text{ამპლიტუდური } \text{დეფორმაცია } \text{X}10^4$
$\text{საწყისი } \text{მდგომარეობა}$	800	0,32	4,0
$\text{მოწვა } 600^\circ\text{C, 3 სთ.}$	845	0,46	5,5
$\text{ციკლური } \text{დეფორმაცია } 600^\circ\text{C, } \varepsilon_{\text{max}} \approx 5 \cdot 10^{-3}$	760	0,27	3,6

ძვრის $\text{მოდულის } \text{მაქსიმალური } \text{მნიშვნელობა } \text{ახასიათებს } UFe_2 \text{ ნაერთს } \text{საწყის } \text{მდგომარეობაში: } \text{შესაბამისად } \text{მაღალია } \text{კრიტიკული } \text{ამპლიტუდური } \text{დეფორმაცია, } \text{რომელზედაც } \text{იწყება } \text{შინაგანი } \text{ხახუნის } \text{ინტენსივობის } \text{მკვერთად } \text{ამაღლება } \text{წრფივი } \text{ხასიათით } \text{და } \text{ძვრის } \text{მოდულის } \text{წრფივად } \text{შემცირება. } \text{ცნობილი } \text{თეორიის } \text{თანახმად [4]} \text{ ასეთ } \text{ამპლიტუდებზე } \text{იწყება } \text{მასალის } \text{სტრუქტურაში } \text{მიკროპლასტიკური } \text{დეფორმაცია } \text{ანუ } \text{დისლოკაციებზე } \text{არსებული } \text{სეგმენტების } \text{შეუკევებადი } \text{მოწვევება } \text{და } \text{გადანაცვლება } \text{კრისტალური } \text{მეცრის } \text{მოცულობაში.}$

აღსანიშნავა, $\text{რომ } \text{მაღალამპლიტუდური } \text{ციკლური } \text{ზემოქმედების } \text{შემდეგ } \text{ადგილი } \text{აქვს } \text{შინაგანი } \text{ხახუნის } \text{პისტერეზისული } \text{ტიპის } \text{ცვლილებას } \text{ე.რ. } \text{შინაგანი } \text{ხახუნის } \text{ამპლიტუდური } \text{დამოკიდებულების } \text{დაღმასვლის } \text{გრაფიკი } \text{განთვალება } \text{აღმასვლის } \text{გრაფიკის } \text{ზემოთ. } \text{სწორედ } \text{ეს } \text{აღსატურებს } \text{მიკროპლასტიკური } \text{დეფორმაციის } \text{განვითარებას } \text{ნიმუშის } \text{მაღალამპლიტუდური } \text{დატვირთვის } \text{პირობებში.}$

ცნობილი $\text{ფორმულით } \sigma = G \cdot \varepsilon_{\text{ij}}$. განისაზღვრა ნაერთის დრეკადობის ზღვრის მნიშვნელობები ითახის ტემპერატურაზე. როგორც მოსალოდნელია ის - $\text{შედარებით } \text{მაღალია } UFe_2$ -ში საწყის მდგომარეობაში (ცხრ.1). მასში $\text{შედარებით } \text{ძლიერია } \text{ატომთაშორისი } \text{კავშირის } \text{ძლები, } \text{შესაბამისად } \text{ძლიერად } \text{არიან } \text{დამაგრებული } \text{დისლოკაციები, } \text{გამნელებულია } \text{სტრუქტურული } \text{დეფექტების } \text{დიფუზია } \text{თერმული } \text{და } \text{მექანიკური } \text{ზემოქმედების } \text{პირობებში. } \text{ყოველივე } \text{აღნიშნული } \text{ძირითადად } \text{განპირობებულია } \text{კრისტალის } \text{სტრუქტურაში } \text{დეფექტების } \text{შედარებითი } \text{სიმცირით.}$

დისლოკაციური წარმოშობის ორი რელაქსაციური მაქსიმუმის არსებობა წახნაგცენტრირებული კუბური სიმეტრიის მქონე UFe_2 ნაერთში დაკავშირებულია სუსტი და ძლიერი ცენტრებიდან დისლოკაციების მოწყვეტა-დამაგრების შექცევად პროცესებთან. გამოვლენილი პროცესების სრული ანალიზისათვის აუცილებელია რეალური სტრუქტურის შესწავლა ელექტრონული მიკროსკოპის მეთოდებით და მექანიკური თვისებების გამოკვლევა ტემპერატურისა და დეფორმაციის ფართო დიაპაზონებში.

3. დასკვნა

შესწავლილია UFe_2 ნაერთის შინაგანი ხახუნისა და ძვრის დინამიური მოდულის ტემპერატურული და ამპლიტუდური დამოკიდებულებები საწყის და ციკლურად დეფორმირებულ

მდგომარეობაში. გრეხითი რჩევების $0,5 - 5,0$ ჰე სიხშირის დიაპაზონში გამოვლენილია დეფორმაციული UFe_2 მასის რიცხვის მაქსიმუმი $230 - 260^{\circ}\text{C}$ ტემპერატურათა არეში. განსაზღვრულია რელაქსაციური პროცესების დამახასიათებელი აქტივაციის ენერგიისა და სიხშირის ფაქტორის მნიშვნელობები. დადგენილია, რომ აღნიშნული რელაქსაციური პროცესები განპირობებულია UFe_2 ნაერთის სტრუქტურაში არსებული დისლოკაციების ურთიერთქმედებით მინარევების ატომებთან და მათ კომპლექსებთან. განსაზღვრულია UFe_2 ნაერთის ძვრის მოდულისა და დრეკადობის ზღვრის მნიშვნელობები ოთახის ტემპერატურაზე. მოდებული შედეგები მნიშვნელოვანია UFe_2 ნაერთის სტრუქტურულად-მგრძნობარე ფიზიკურ-მექანიკური თვისებებისა და პლასტიკური დეფორმაციის მახასიათებლების პროგნოზირებისა და მართვის პრობლემების გადაწყვეტისათვის.

ლიტერატურა:

1. Постников В.С. Внутреннее трение в металлах. М.:Металлургия, 1974
2. Кришталл М.А., Головин С.А. Внутреннее трение и структура металлов. М., Металлургия, 1976
3. Новик А., Берри Б. Релаксационные явления в кристаллах. М. Атомиздат, 1974
4. Никаноров С.И., Кардашев Б.К. Упругость и дислокационная неупругость кристаллов. М.: Наука, 1985.

UNELASTIC PROPERTIES OF THE DEFORMED UFe_2 COMPOUND

Mamisashvili Nana, Darchiashvili Lalita, Bibiluri Malkhaz, Chachkhiani Zurab
Georgian Technical University

Summary

The paper has, for the first time, studied internal friction and shear modulus in the UFe_2 . In order to determine activation parameters of defects movement in UFe_2 , temperature and amplitude dependence of internal friction and shear modulus at torsion oscillations with frequency $\approx 1\text{Hz}$ within the temperature range from 20 to 750°C and amplitude of oscillation deformation $5 \cdot 10^{-5} - 1 \cdot 10^{-2}$, have been investigated. Two maxima of relaxation origin have been found in the area between $200-400^{\circ}\text{C}$. Areas of slight and strong increase at an amplitude dependence of internal friction have been revealed, divided by critical amplitude of oscillations. Values of shear modulus and elasticity limit during the shear deformation have been estimated. Microscopic mechanisms of relaxation processes in the model of interaction of dislocation segments with different point defects were discussed.

НЕУПРУГИЕ СВОЙСТВА ДЕФОРМИРОВАННОГО СОЕДИНЕНИЯ UFe_2

Мамисашвили Н.А., Дарчиашвили Л.К., Бибилиури М.В., Чачхиани З.Б.
Грузинский Технический Университет

Резюме

В работе впервые изучены внутреннее трение и модуль сдвига в соединении UFe_2 . Для диагностики и определения активационных параметров движения дефектов в соединении UFe_2 исследованы температурная и амплитудная зависимости внутреннего трения и модуля сдвига при крутильных колебаниях с частотами $0,5 - 5,0$ Гц в интервалах температуры $20-750^{\circ}\text{C}$ и амплитуды колебательной деформации $5 \cdot 10^{-5} - 1 \cdot 10^{-2}$. В области температур $200-400^{\circ}\text{C}$ обнаружены два максимума релаксационного происхождения. На амплитудных зависимостях внутреннего трения обнаружены области слабого и сильного возрастания, разделенные критической амплитудой колебательной деформации. Оценены значения модуля сдвига и предела упругости при сдвиге. Микроскопические механизмы релаксационных процессов обсуждены в модели взаимодействия дислокационных сегментов с различными точечными дефектами.